

Paramétrage de CADO-NFS pour le problème du logarithme discret dans les corps finis premiers

Kevin Trancho
M1 Informatique

Stage encadré par Pierrick Gaudry

4 septembre 2018



Au programme de l'exposé

- Paramétrage de CADO-NFS, un problème de recherche.
- Utilisation de mes connaissances en informatique et en mathématiques pour résoudre ce problème.
- Contributions au projet CADO-NFS.

Le Loria

Né du CRIN (Centre de Recherche en Informatique de Nancy) en 1997.

Unité Mixte de Recherche associant le CNRS, l'INRIA et les universités de Nancy.

- 190 chercheurs / enseignants chercheurs
- 100 doctorants
- 27 équipes de recherche

- Algorithmique, calcul, image et géométrie
- Méthodes formelles
- Réseaux, systèmes et services
- Traitement automatique des langues et des connaissances
- Systèmes complexes, intelligence artificielle et robotique

Le Loria

Né du CRIN (Centre de Recherche en Informatique de Nancy) en 1997.

Unité Mixte de Recherche associant le CNRS, l'INRIA et les universités de Nancy.

- 190 chercheurs / enseignants chercheurs
- 100 doctorants
- 27 équipes de recherche

- **Algorithmique, calcul, image et géométrie**
- Méthodes formelles
- Réseaux, systèmes et services
- Traitement automatique des langues et des connaissances
- Systèmes complexes, intelligence artificielle et robotique

L'équipe CARAMBA

Dirigée par Emmanuel Thomé depuis Janvier 2016.
Anciennement CAMEL dirigée par Pierrick Gaudry.

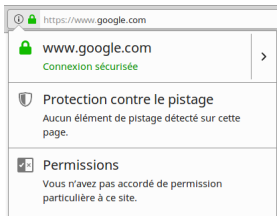
- Attaques Mathématiques
 - Factorisation d'entiers
 - Problème du logarithme discret
- Implémentations
 - Réseaux euclidiens
 - Algèbre linéaire
- Mathématiques
 - Théorie des nombres
 - Courbes elliptiques
 - Systèmes polynomiaux

L'équipe CARAMBA

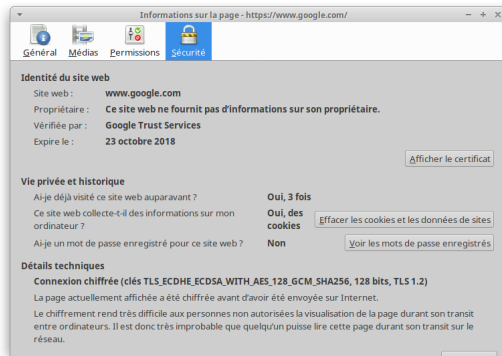
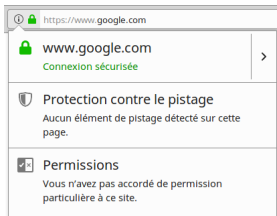
Dirigée par Emmanuel Thomé depuis Janvier 2016.
Anciennement CAMEL dirigée par Pierrick Gaudry.

- **Attaques Mathématiques**
 - Factorisation d'entiers
 - **Problème du logarithme discret**
- Implémentations
 - Réseaux euclidiens
 - Algèbre linéaire
- Mathématiques
 - Théorie des nombres
 - Courbes elliptiques
 - Systèmes polynomiaux

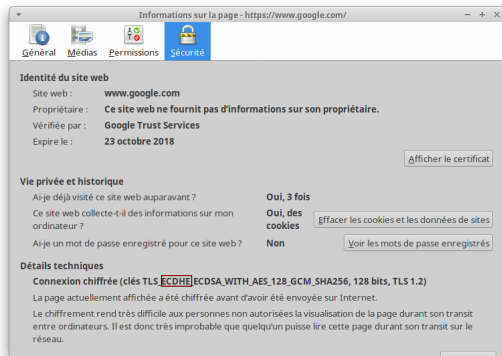
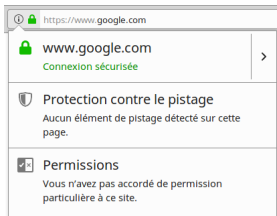
Exemple de contexte cryptographique



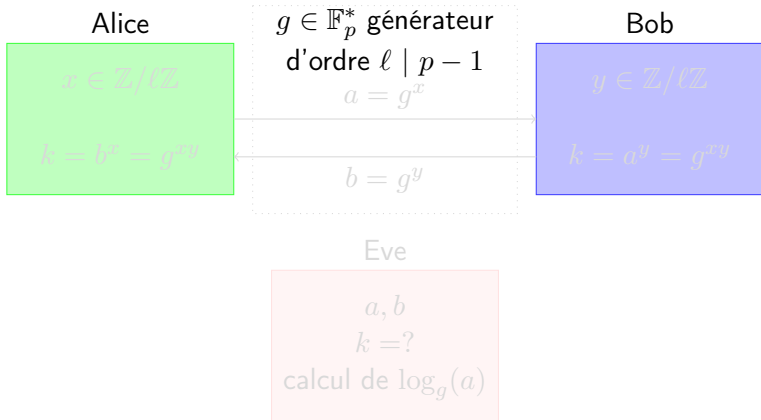
Exemple de contexte cryptographique



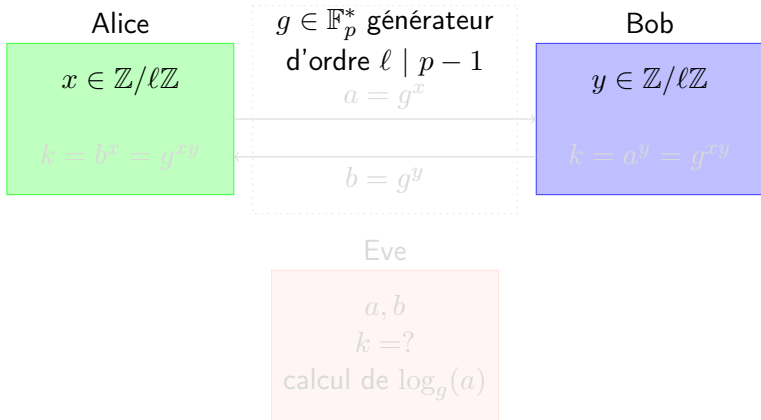
Exemple de contexte cryptographique



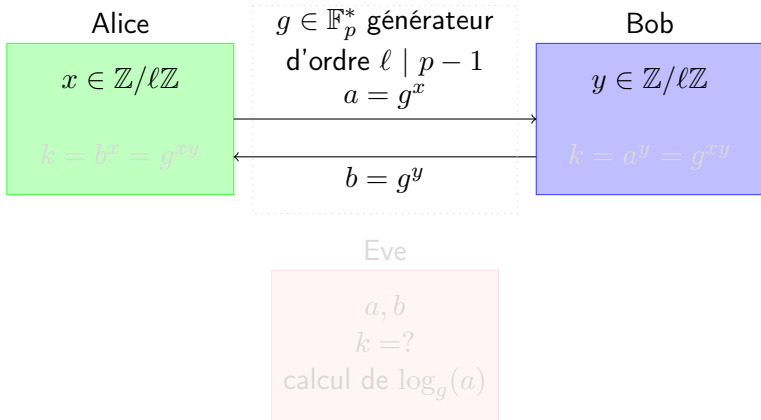
Un exemple en pratique : l'échange de clés de Diffie-Hellman



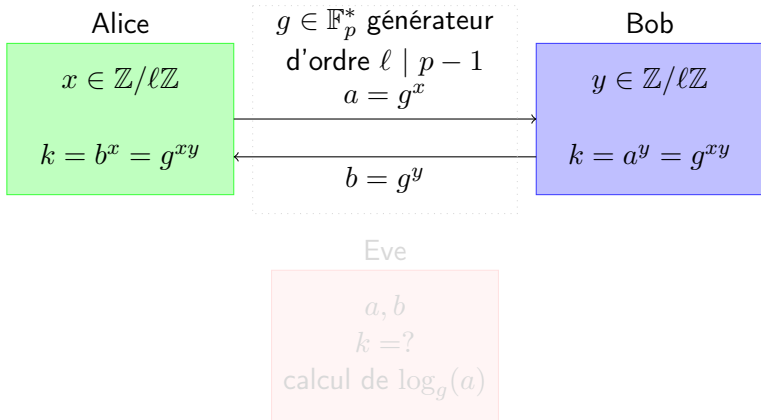
Un exemple en pratique : l'échange de clés de Diffie-Hellman



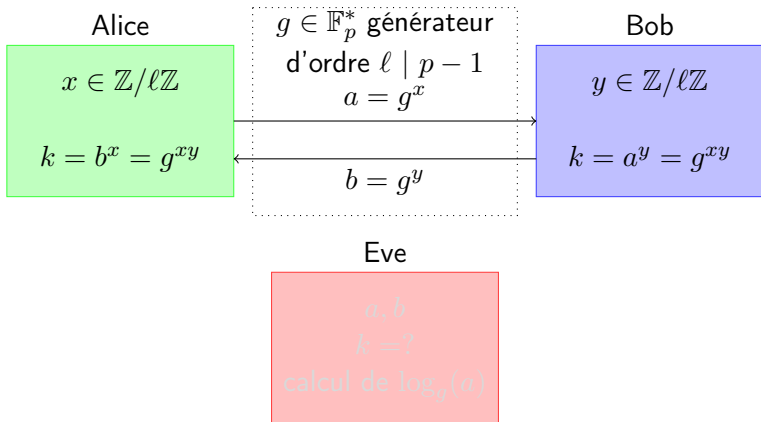
Un exemple en pratique : l'échange de clés de Diffie-Hellman



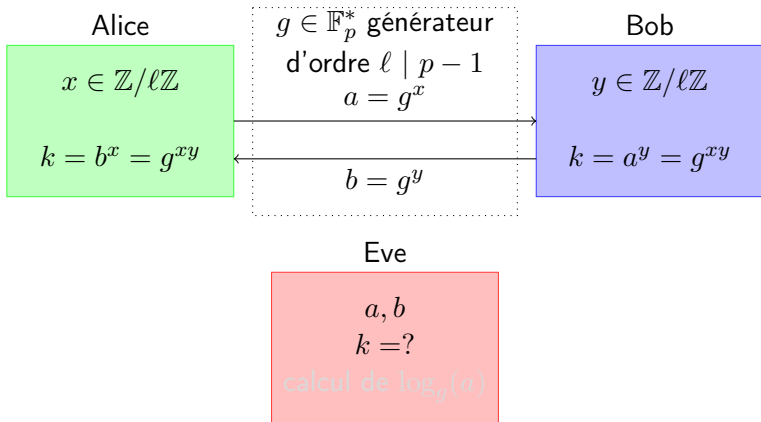
Un exemple en pratique : l'échange de clés de Diffie-Hellman



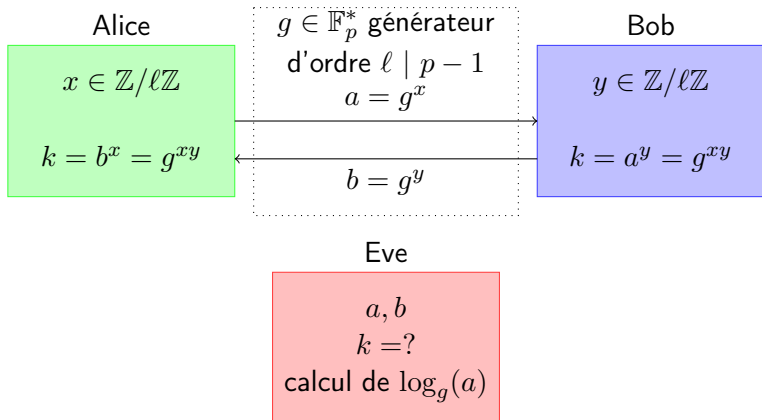
Un exemple en pratique : l'échange de clés de Diffie-Hellman



Un exemple en pratique : l'échange de clés de Diffie-Hellman



Un exemple en pratique : l'échange de clés de Diffie-Hellman



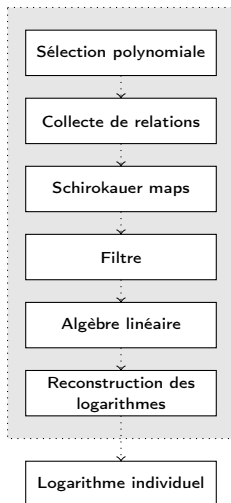
CADO-NFS

Implémentation robuste de l'algorithme du 'crible algébrique' pour les attaques mathématiques suivantes :

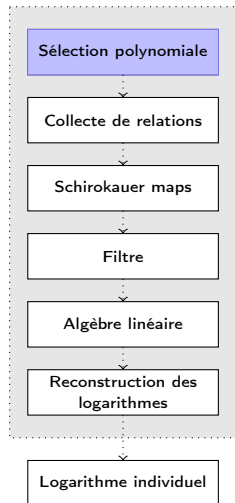
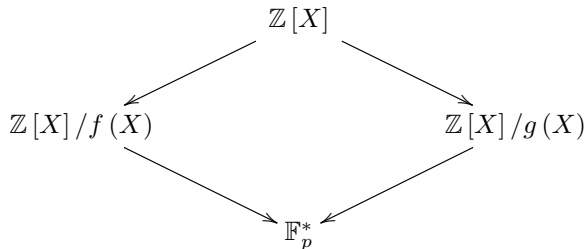
- Factorisation d'entiers.
- Résolution du problème du logarithme discret.

Utilisé à l'origine dans le cas du logarithme discret pour des records (tailles 768 bits ou 1024 bits piégé).

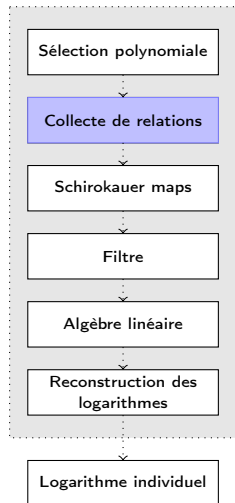
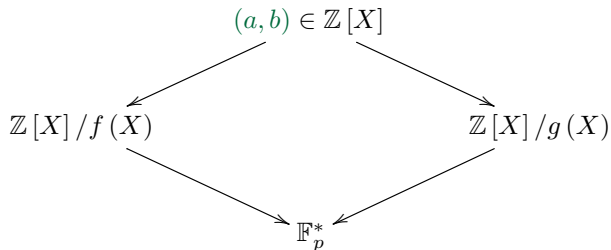
CADO-NFS : grandes étapes



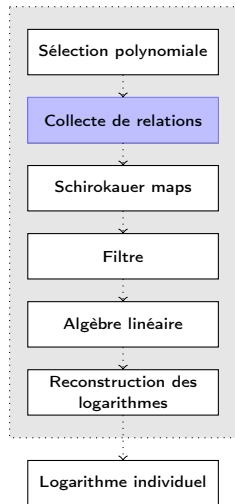
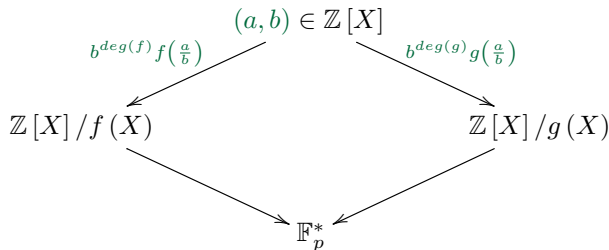
Algorithme NFS



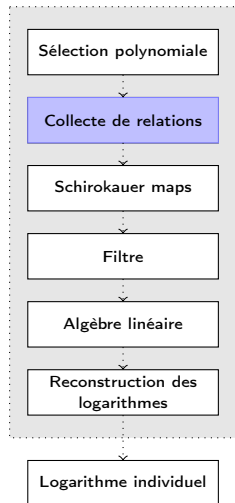
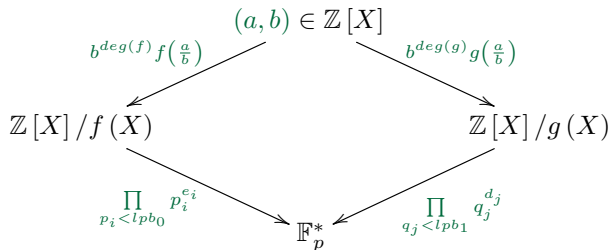
Algorithme NFS



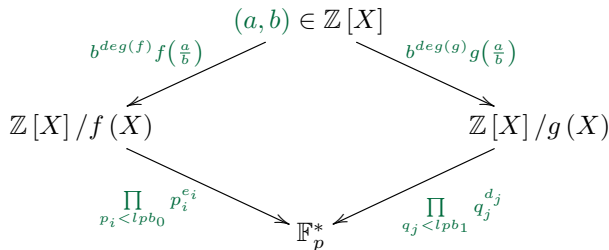
Algorithme NFS



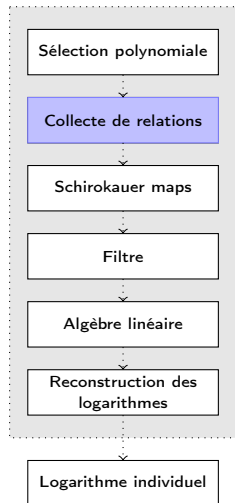
Algorithme NFS



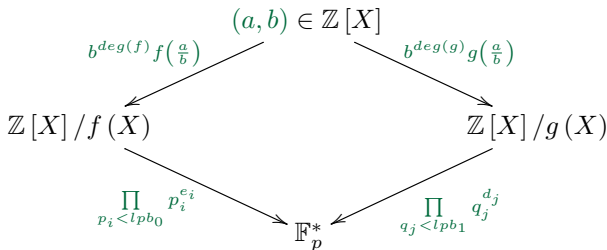
Algorithme NFS



$$\prod_{p_i < lpb_0} p_i^{e_i} \equiv \prod_{q_j < lpb_1} q_j^{d_j} [p]$$

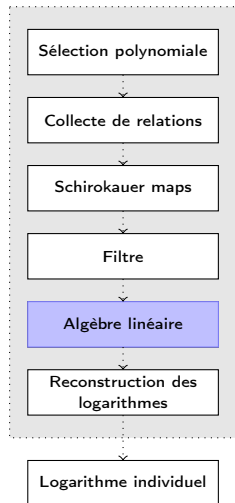


Algorithme NFS



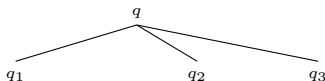
$$\prod_{p_i < lpb_0} p_i^{e_i} \equiv \prod_{q_j < lpb_1} q_j^{d_j} [p]$$

$$\sum_{p_i < lpb_0} e_i \log(p_i) - \sum_{q_j < lpb_1} d_j \log(q_j) \equiv 0 [\ell]$$

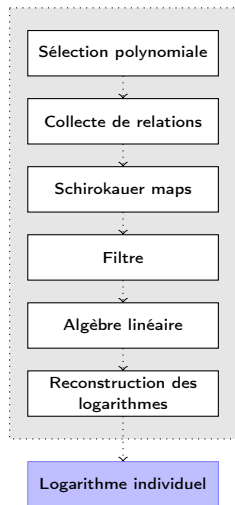


CADO-NFS : Logarithmes individuels

$$\log(q) \equiv \sum_{p_i < lpb_0} e_i \log(q_i) [\ell]$$

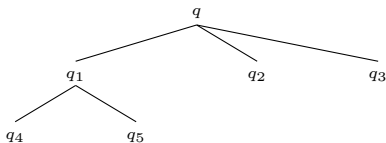


Base de donnée des logarithmes



CADO-NFS : Logarithmes individuels

$$\log(q) \equiv \sum_{p_i < lpb_0} e_i \log(q_i) [\ell]$$



Base de donnée des logarithmes

Sélection polynomiale

Collecte de relations

Schirokauer maps

Filtre

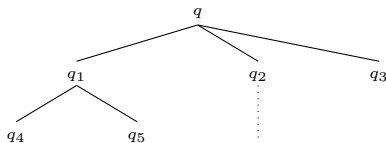
Algèbre linéaire

Reconstruction des
logarithmes

Logarithme individuel

CADO-NFS : Logarithmes individuels

$$\log(q) \equiv \sum_{p_i < lpb_0} e_i \log(q_i) [\ell]$$



Base de donnée des logarithmes

Sélection polynomiale

Collecte de relations

Schirokauer maps

Filtre

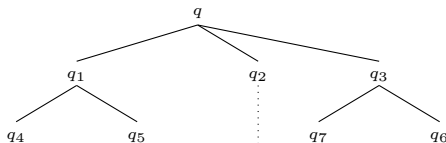
Algèbre linéaire

Reconstruction des
logarithmes

Logarithme individuel

CADO-NFS : Logarithmes individuels

$$\log(q) \equiv \sum_{p_i < lpb_0} e_i \log(q_i) [\ell]$$



Base de donnée des logarithmes

Sélection polynomiale

Collecte de relations

Schirokauer maps

Filtre

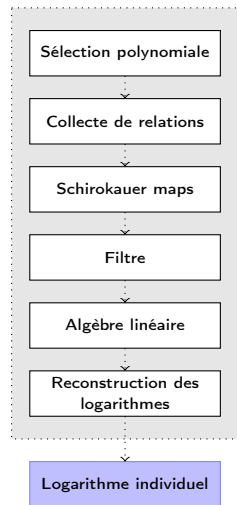
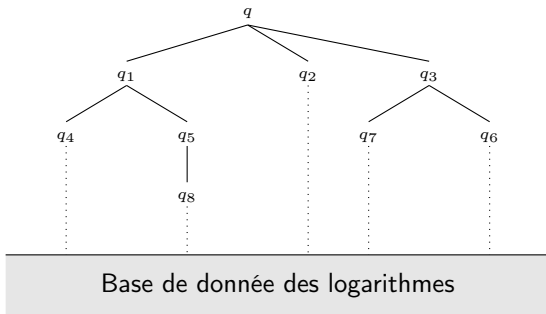
Algèbre linéaire

Reconstruction des
logarithmes

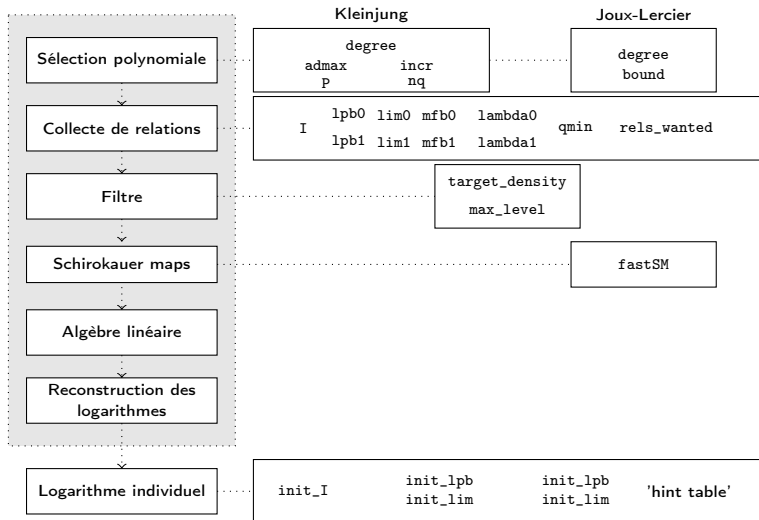
Logarithme individuel

CADO-NFS : Logarithmes individuels

$$\log(q) \equiv \sum_{p_i < lpb_0} e_i \log(q_i) [\ell]$$



Vue d'ensemble des principaux paramètres



CADO-NFS : Idées pour le paramétrage

Le pire cas : p nombre premier de Sophie Germain.

C'est-à-dire $p = 2\ell + 1$ avec ℓ premier.

Étude de NFS dans le cas p de Sophie Germain et $\ell = \frac{p-1}{2}$.

- Première approche : s'intéresser au temps CPU total.
 - Trop de temps d'attente.
 - Peu d'informations sur la pertinence des paramètres obtenus.
- Seconde approche : s'intéresser aux résultats des différentes étapes.
 - Permet interprétation locale des résultats.
 - Mais pas de garantie sur l'optimalité.

CADO-NFS : Idées pour le paramétrage

Le pire cas : p nombre premier de Sophie Germain.

C'est-à-dire $p = 2\ell + 1$ avec ℓ premier.

Étude de NFS dans le cas p de Sophie Germain et $\ell = \frac{p-1}{2}$.

- Première approche : s'intéresser au temps CPU total.
 - Trop de temps d'attente.
 - Peu d'informations sur la pertinence des paramètres obtenus.
- Seconde approche : s'intéresser aux résultats des différentes étapes.
 - Permet interprétation locale des résultats.
 - Mais pas de garantie sur l'optimalité.

CADO-NFS : Idées pour le paramétrage

Le pire cas : p nombre premier de Sophie Germain.

C'est-à-dire $p = 2\ell + 1$ avec ℓ premier.

Étude de NFS dans le cas p de Sophie Germain et $\ell = \frac{p-1}{2}$.

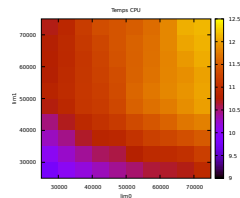
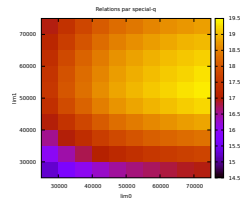
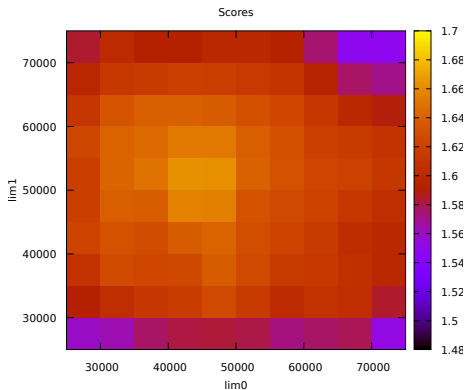
- Première approche : s'intéresser au temps CPU total.
 - Trop de temps d'attente.
 - Peu d'informations sur la pertinence des paramètres obtenus.
- Seconde approche : s'intéresser aux résultats des différentes étapes.
 - Permet interprétation locale des résultats.
 - Mais pas de garantie sur l'optimalité.

Connaissances mises en pratique

- Connaissances en algèbre : principalement en théorie des nombres ou issues du cours de cryptographie.
- Outils informatiques : python3, SageMath.
 - Parsing de différentes statistiques issues de CADO-NFS.
 - Génération de graphiques / résultats humainement observables.
 - Automatisation de certains calculs.
 - Calculs mathématiques avec Sage.

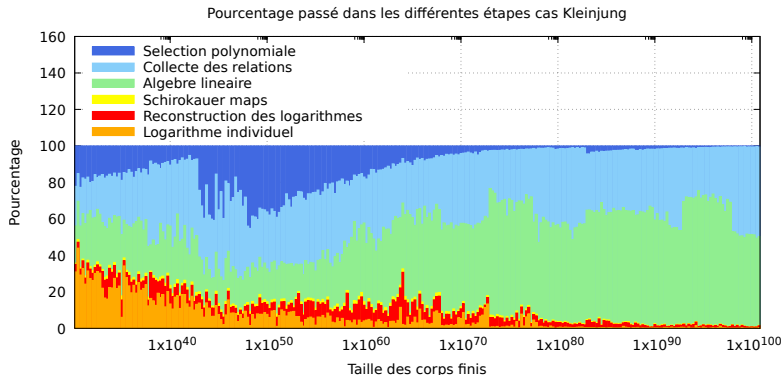
Chercher les paramètres à l'aide d'unités de travail

Utilisations de mes outils pour visualiser des résultats locaux.



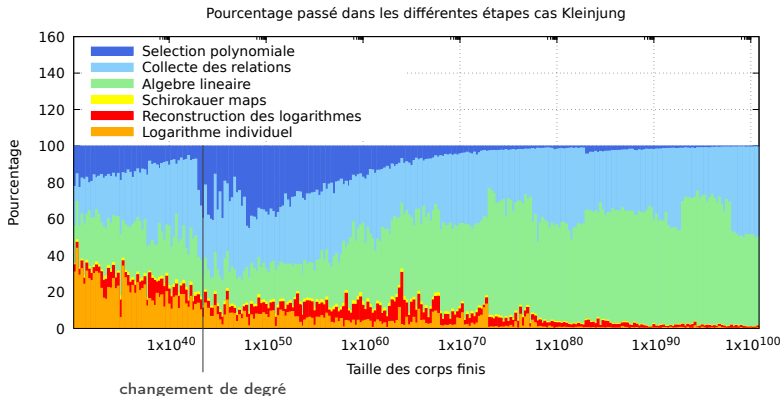
Statistiques sur les différentes étapes

S'intéresser aux différentes statistiques d'un test.



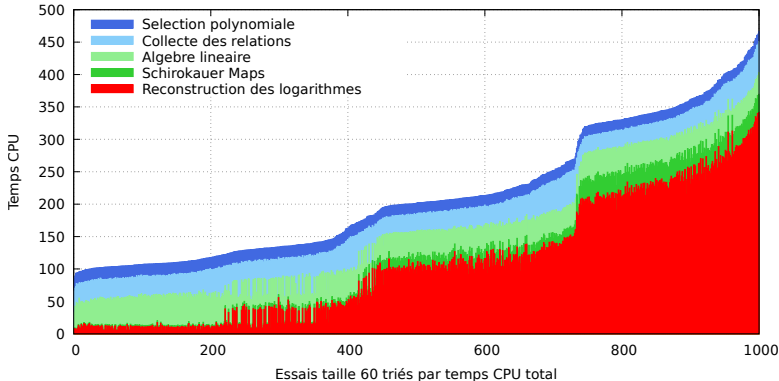
Statistiques sur les différentes étapes

S'intéresser aux différentes statistiques d'un test.

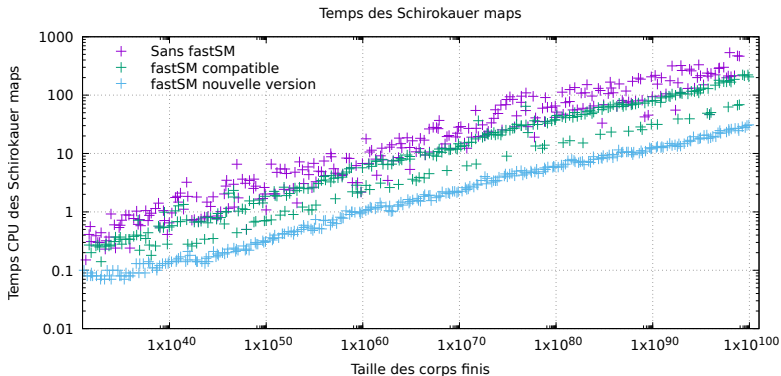


Problème des Schirokauer maps

Calcul en moyenne : mise en évidence du problème des Schirokauer maps pour les petites tailles.

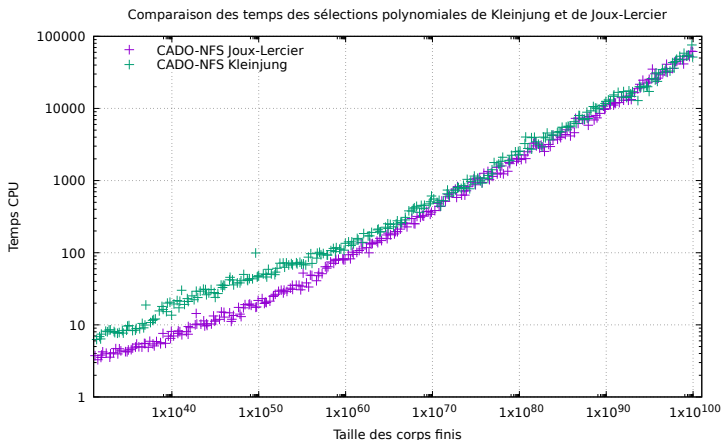


Solutions au problème des Schirokauer maps

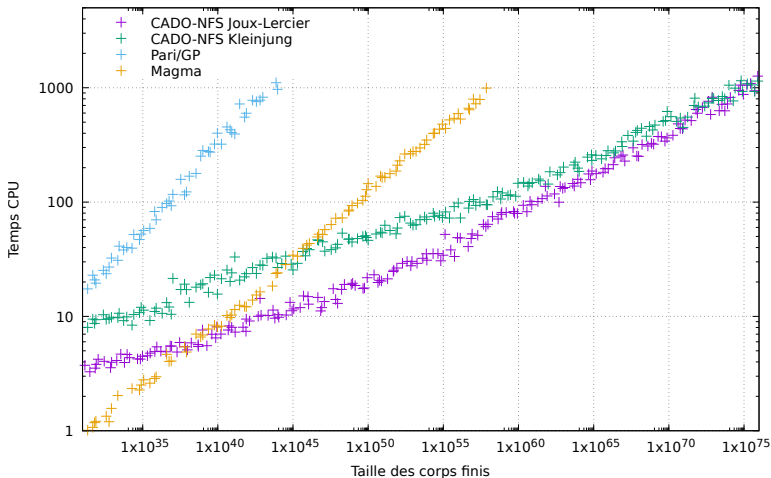


Sélection polynomiale Joux-Lercier et Kleinjung

Comparaison de Joux-Lercier (expérimental) et Kleinjung (actuellement utilisé).



CADO-NFS et d'autres implémentations du logarithme discret



Contributions

Jeux de paramètres Kleinjung et Joux-Lercier ajoutés à CADO-NFS.

Exposé scientifique devant l'équipe CARAMBA pour présenter mes résultats et peut-être donner des idées de nouvelles pistes de recherche.

Grand nombre de cas testés : mise en évidence et rapport de quelques bugs corrigés.

Conclusion

- Paramétrage de CADO-NFS : un problème de recherche intéressant, approfondissement de mes connaissances en mathématiques et expérimentation de méthodes en développement (Joux-Lercier).
- L'occasion de mettre en œuvre à la fois mes connaissances en mathématiques et mes compétences informatiques.
- Nouveaux jeux de paramètres pour CADO-NFS, mise en évidence de la pertinence de CADO-NFS face aux autres implémentations.
- Pour aller plus loin dans le stage : approfondir les méthodes que j'ai trouvées pour créer un outil automatique sans intervention humaine ?

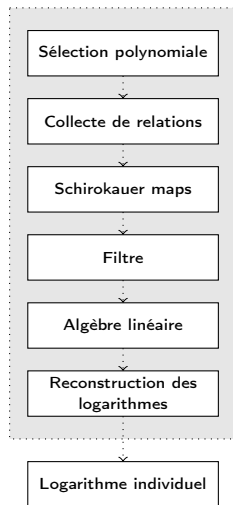
Questions

Merci de votre attention.

Posez vos questions.

CADO-NFS en bref

- On sélectionne des polynômes.
- On factorise les normes pour obtenir des relations.
- On fabrique un système linéaire où les logarithmes sont les inconnues.
- On résout le système par l'algèbre linéaire.
- On fabrique un arbre pour exprimer un logarithme cible en fonction de logarithmes connus et précalculés.



CADO-NFS : Sélection polynomiale

À une paire $(a, b) \in \mathbb{Z}^2$, on associe les normes :

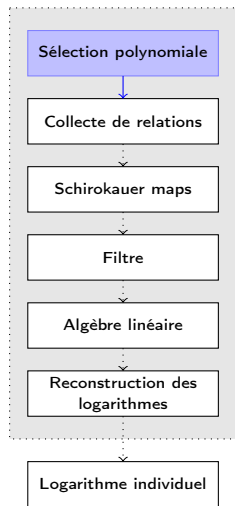
$$\text{Norm}_f((a, b)) = b^{\deg(f)} f\left(\frac{a}{b}\right)$$

$$\text{Norm}_g((a, b)) = b^{\deg(g)} g\left(\frac{a}{b}\right)$$

N est B -friable s'il se décompose en facteurs premiers plus petits que B :

$$N = \prod_{q < B} q^{e_q}.$$

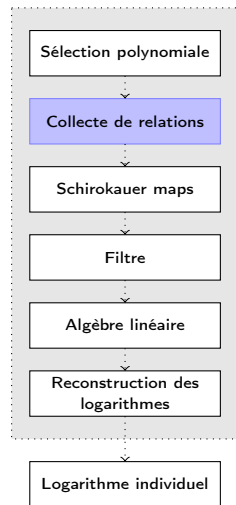
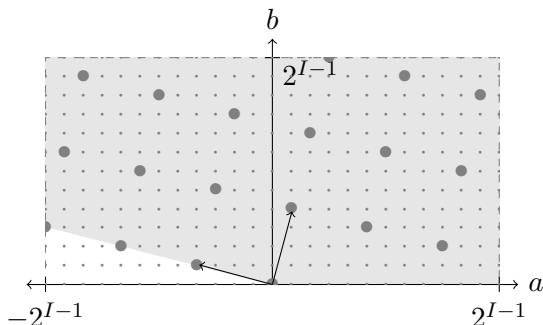
On veut exploiter la friabilité des normes.
Qualité des polynômes : quantité- E de Murphy.



CADO-NFS : Collecte de relations

On impose un spécial- q : facteur premier dans une relation.

On crible sur les normes des paires (a, b) dans un espace à deux dimensions :



CADO-NFS : Collecte de relations

$(a, b) = (201098, 29)$

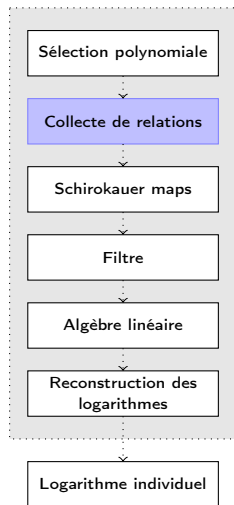
Exemple : 510942669265123167970539

- Spécial-q
- Crible d'Eratosthène.

$$Norm((a, b)) = \left(\prod_{Norm(q) < LIM} Norm(q)^{e_q} \right) \times R.$$

- Cofactorisation par l'Elliptic Curve Method.

$$Norm((a, b)) = \prod_{Norm(q) < LPB} Norm(q)^{e_q}.$$



CADO-NFS : Collecte de relations

$(a, b) = (201098, 29)$

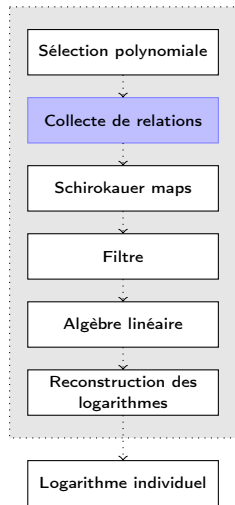
Exemple : **6217.82184762629101362067**

- Spécial- q
- Crible d'Eratosthène.

$$Norm((a, b)) = \left(\prod_{Norm(q) < LIM} Norm(q)^{e_q} \right) \times R.$$

- Cofactorisation par l'Elliptic Curve Method.

$$Norm((a, b)) = \prod_{Norm(q) < LPB} Norm(q)^{e_q}.$$



CADO-NFS : Collecte de relations

$(a, b) = (201098, 29)$

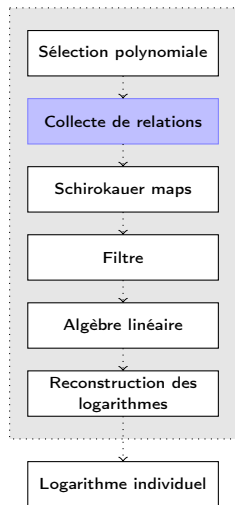
Exemple : $6217.3^3.307.1033.11519.833247589$

- Spécial- q
- Crible d'Eratosthène.

$$Norm((a, b)) = \left(\prod_{Norm(q) < LIM} Norm(q)^{e_q} \right) \times R.$$

- Cofactorisation par l'Elliptic Curve Method.

$$Norm((a, b)) = \prod_{Norm(q) < LPB} Norm(q)^{e_q}.$$



CADO-NFS : Collecte de relations

$(a, b) = (201098, 29)$

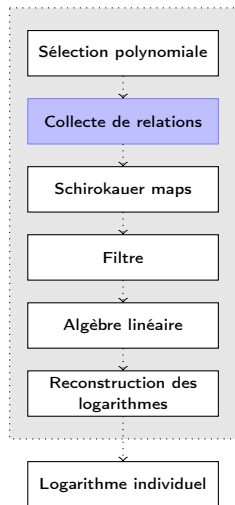
Exemple : 6217.3³.307.1033.11519.**27893.29873**

- Spécial-q
- Crible d'Eratosthène.

$$Norm((a, b)) = \left(\prod_{Norm(q) < LIM} Norm(q)^{e_q} \right) \times R.$$

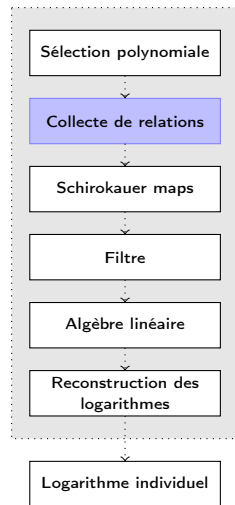
- Cofactorisation par l'Elliptic Curve Method.

$$Norm((a, b)) = \prod_{Norm(q) < LPB} Norm(q)^{e_q}.$$



CADO-NFS : Collecte de relations

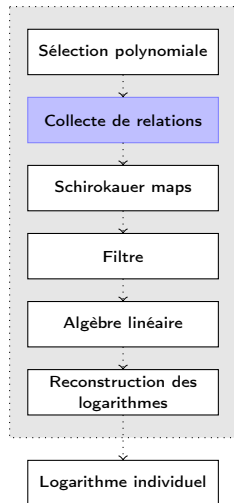
$$\text{Norm}((a, b)) = \prod_{\text{Norm}(\mathfrak{q}) < LPB} \text{Norm}(\mathfrak{q})^{e_{\mathfrak{q}}},$$



CADO-NFS : Collecte de relations

$$\text{Norm}((a, b)) = \prod_{\text{Norm}(\mathfrak{q}) < LPB} \text{Norm}(\mathfrak{q})^{e_{\mathfrak{q}}},$$

$$” \prod_i p_i^{e_i} \equiv \prod_j q_j^{d_j} [p] ”^1.$$



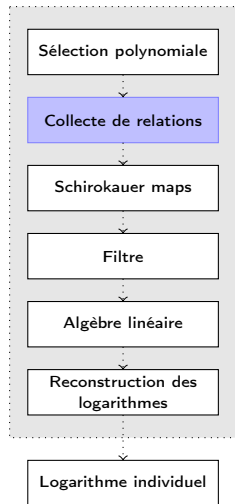
1 . C'est faux, pas de théorème de factorisation unique.

CADO-NFS : Collecte de relations

$$\text{Norm}((a, b)) = \prod_{\text{Norm}(\mathfrak{q}) < LPB} \text{Norm}(\mathfrak{q})^{e_{\mathfrak{q}}},$$

$$” \prod_i p_i^{e_i} \equiv \prod_j q_j^{d_j} [p] ”^1.$$

$$” \sum_i e_i \log_g(p_i) - \sum_j d_j \log_g(q_j) \equiv 0 [\ell] ”^1.$$



1 . C'est faux, pas de théorème de factorisation unique.

CADO-NFS : Collecte de relations

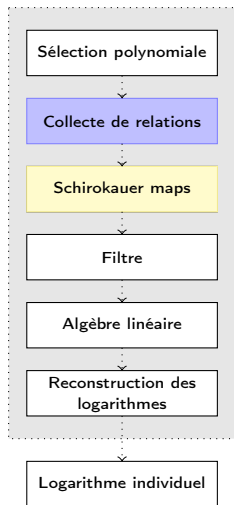
$$\text{Norm}((a, b)) = \prod_{\text{Norm}(\mathfrak{q}) < LPB} \text{Norm}(\mathfrak{q})^{e_{\mathfrak{q}}},$$

$$” \prod_i p_i^{e_i} \equiv \prod_j q_j^{d_j} [p] ”^1.$$

$$” \sum_i e_i \log_g(p_i) - \sum_j d_j \log_g(q_j) \equiv 0 [\ell] ”^1.$$

$$\sum_i e_i v \log_g(\mathfrak{p}_i) - \sum_j d_j v \log_g(\mathfrak{q}_j) +$$

$$\sum_k SM_k(a, b) v \log_g(SM_k) \equiv 0 [\ell].$$

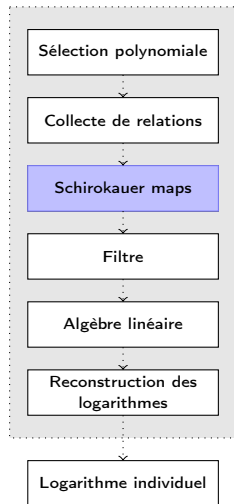


CADO-NFS : Algèbre linéaire

$$\sum_i e_i v \log_g(p_i) - \sum_j d_j v \log_g(q_j) + \sum_k SM_k(a, b) v \log_g(SM_k) \equiv 0 \pmod{\ell}$$

Système d'équations linéaires.
Les logarithmes sont les inconnues.
Les exposants sont les coefficients de la matrice.

$$\begin{pmatrix} a_{1,1} & a_{1,2} & \cdots & a_{1,n-1} & a_{1,n} & SM_{1,1} & \cdots & SM_{1,m} \\ a_{2,1} & a_{2,2} & \cdots & a_{2,n-1} & a_{2,n} & SM_{2,1} & \cdots & SM_{2,m} \\ \vdots & \vdots \\ a_{k,1} & a_{k,2} & \cdots & a_{k,n-1} & a_{k,n} & SM_{k,1} & \cdots & SM_{k,m} \end{pmatrix}$$

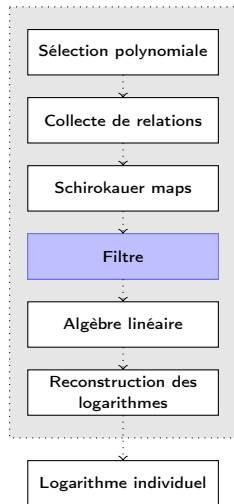


CADO-NFS : Algèbre linéaire

$$\sum_i e_i v \log_g(p_i) - \sum_j d_j v \log_g(q_j) + \sum_k SM_k(a, b) v \log_g(SM_k) \equiv 0 \pmod{\ell}$$

Système d'équations linéaires.
Les logarithmes sont les inconnues.
Les exposants sont les coefficients de la matrice.
Élimination Gaussienne.

$$\begin{pmatrix} a_{1,1} & a_{1,2} & \cdots & a_{1,n-1} & a_{1,n} & SM_{1,1} & \cdots & SM_{1,m} \\ a_{2,1} & a_{2,2} & \cdots & a_{2,n-1} & a_{2,n} & SM_{2,1} & \cdots & SM_{2,m} \\ \vdots & \vdots & & \vdots & \vdots & \vdots & & \vdots \\ \vdots & \vdots & & \vdots & \vdots & \vdots & & \vdots \\ \vdots & \vdots & & \vdots & \vdots & \vdots & & \vdots \\ a_{k,1} & a_{k,2} & \cdots & a_{k,n-1} & a_{k,n} & SM_{k,1} & \cdots & SM_{k,m} \end{pmatrix}$$



CADO-NFS : Algèbre linéaire

$$\sum_i e_i v \log_g(p_i) - \sum_j d_j v \log_g(q_j) + \sum_k SM_k(a, b) v \log_g(SM_k) \equiv 0 \pmod{\ell}$$

Système d'équations linéaires.

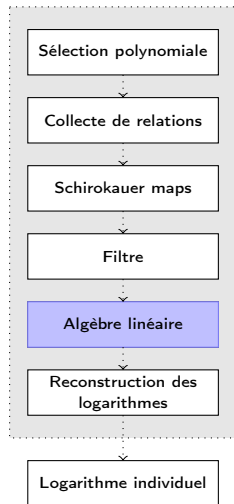
Les logarithmes sont les inconnues.

Les exposants sont les coefficients de la matrice.

Élimination Gaussienne.

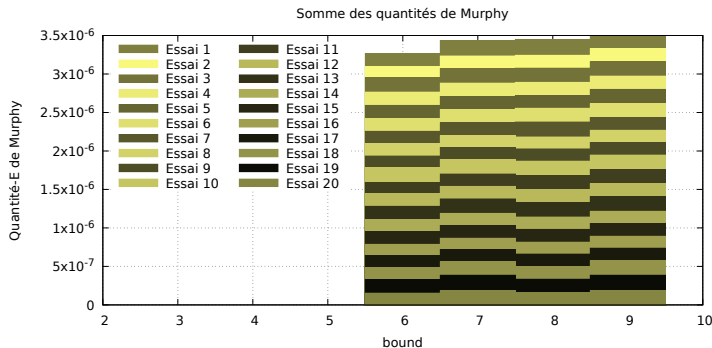
Block-Wiedemann.

$$\begin{pmatrix} a_{1,1} & a_{1,2} & \cdots & a_{1,n-1} & a_{1,n} & SM_{1,1} & \cdots & SM_{1,m} \\ a_{2,1} & a_{2,2} & \cdots & a_{2,n-1} & a_{2,n} & SM_{2,1} & \cdots & SM_{2,m} \\ \vdots & \vdots \\ \vdots & \vdots \\ a_{k,1} & a_{k,2} & \cdots & a_{k,n-1} & a_{k,n} & SM_{k,1} & \cdots & SM_{k,m} \end{pmatrix}$$

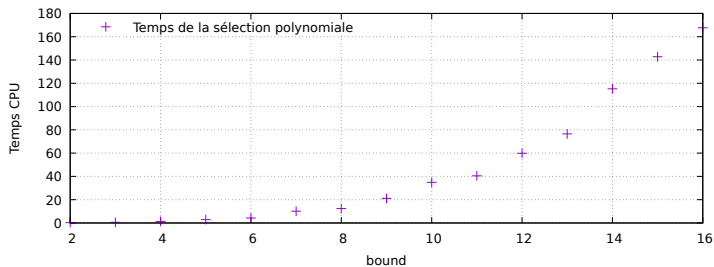
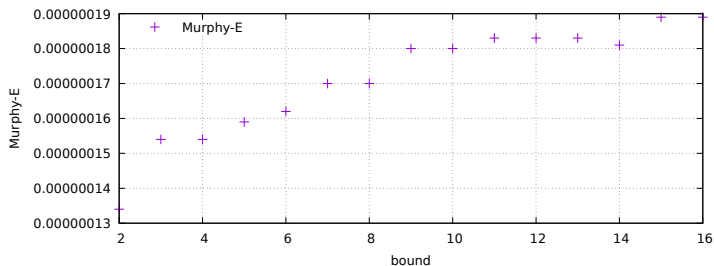


Calculs en moyenne

Calculs en moyenne pour adapter les paramètres à un maximum de cas ou vérifier la pertinence du jeu de paramètres sur un grand nombre de cas.



Paramétrage sélection polynomiale Joux-Lercier temps



Exemple : paramétrage de la collecte de relations

Étude avec las : unités de travail indépendantes.

Paramètres :

| | |
|---------|---------|
| lpb0 | lpb1 |
| lim0 | lim1 |
| mfb0 | mfb1 |
| lambda0 | lambda1 |

Total 9054 reports [0.00128s/r, 18.9r/sq] in 13.6
elapsed s [85.2% CPU]

Score :

$$\frac{\text{relations par spécial-q}}{\text{temps écoulé} \times \text{pourcentage de temps CPU}}$$

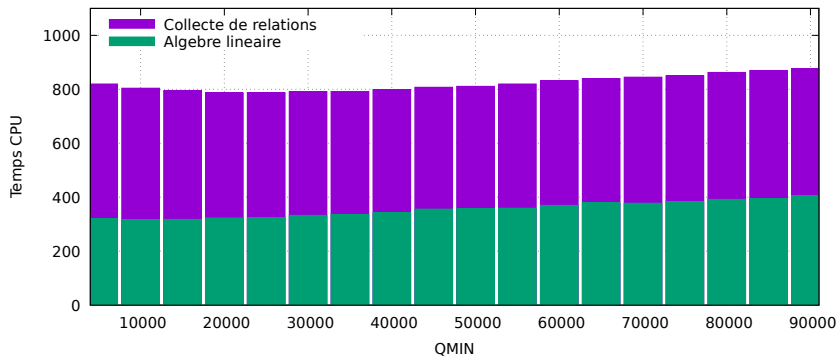
Exemple : paramétrage de la collecte de relations

Score général :

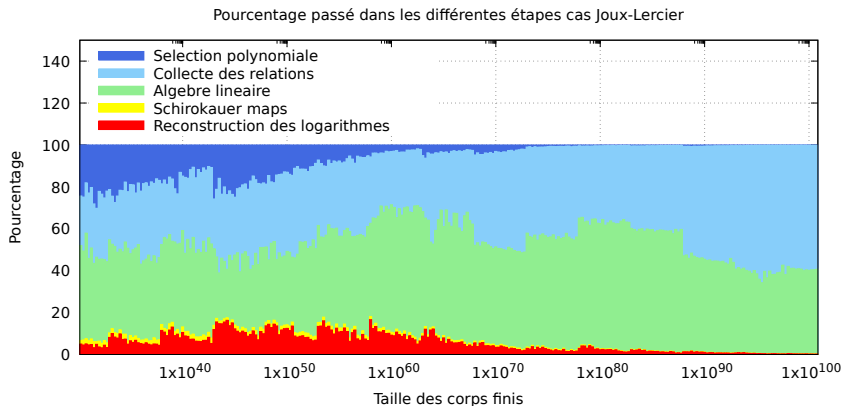
$$\frac{\text{score}}{\pi(2^{\text{lpb0}}) + \pi(2^{\text{lpb1}})}$$

| Rang | lpb | lim | rels/spécial-q | score | score général |
|------|--------|----------------|----------------|---------|--------------------------|
| 1 | 18, 18 | 52428, 52428 | 19 | 1.66138 | 3.61169×10^{-5} |
| 2 | 19, 19 | 52428, 52428 | 39.8 | 2.95939 | 3.41023×10^{-5} |
| 3 | 18, 19 | 52428, 52428 | 27.9 | 2.24091 | 3.37537×10^{-5} |
| ⋮ | ⋮ | ⋮ | ⋮ | ⋮ | ⋮ |
| 9 | 17, 17 | 26214, 39321 | 6 | 0.65337 | 2.66659×10^{-5} |
| ⋮ | ⋮ | ⋮ | ⋮ | ⋮ | ⋮ |
| 15 | 20, 20 | 314572, 104857 | 72.5 | 3.46641 | 2.11302×10^{-5} |
| ⋮ | ⋮ | ⋮ | ⋮ | ⋮ | ⋮ |
| 23 | 16, 16 | 26214, 32768 | 1.6 | 0.19216 | 1.46863×10^{-5} |

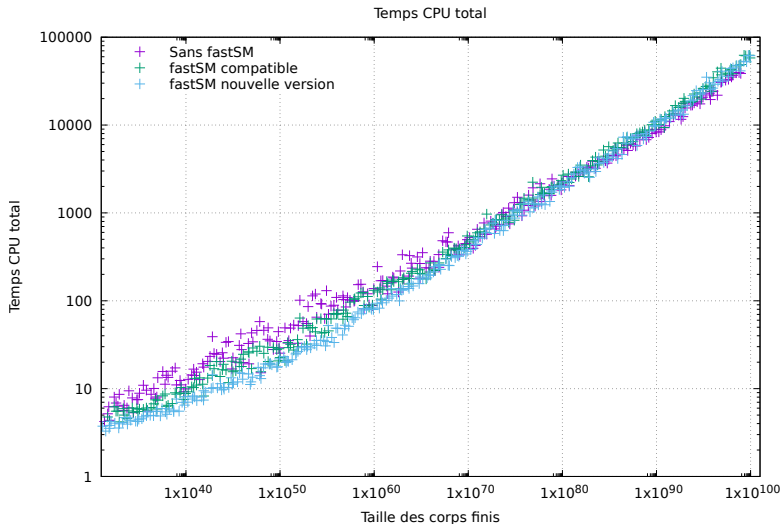
Exemple : Collecte pour l'algèbre linéaire



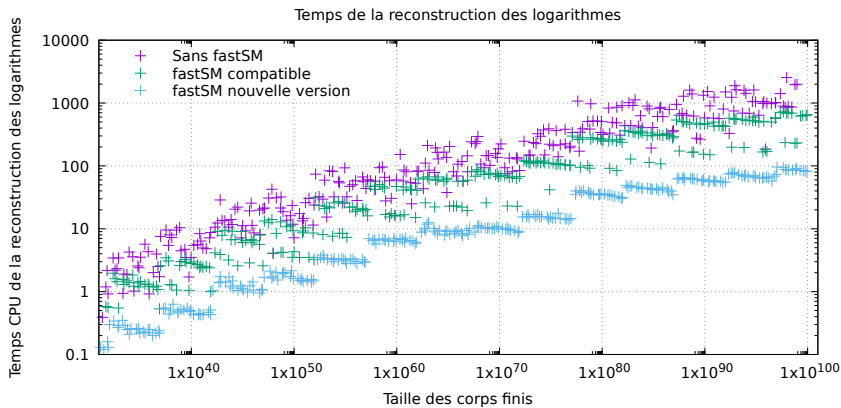
Exemple : Temps et petites tailles



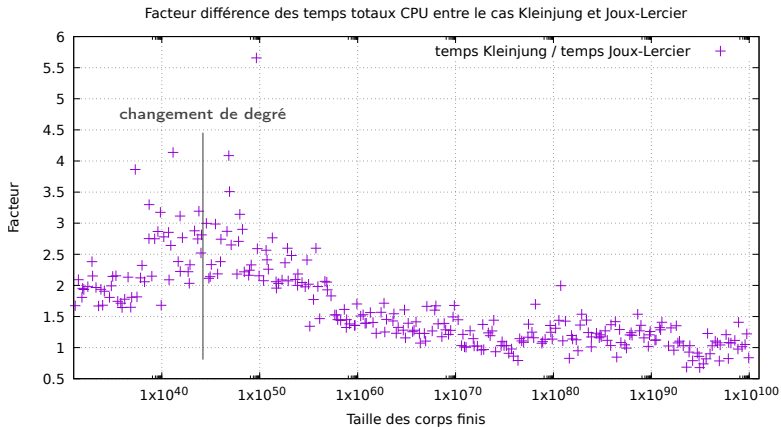
Solutions au problème des Schirokauer maps



Temps reconstruction des logarithmes



Sélection polynomiale Joux-Lercier et Kleinjung



Comparaison sans biais

